

МАТЕМАТИЧЕСКАЯ
ФИЗИКА

УДК 517.63

О ВЛИЯНИИ БЕТА-ЭФФЕКТА НА СПЕКТРАЛЬНЫЕ
ХАРАКТЕРИСТИКИ НЕУСТОЙЧИВЫХ ВОЗМУЩЕНИЙ
ОКЕАНСКИХ ТЕЧЕНИЙ¹⁾

© 2020 г. С. Л. Скороходов^{1,*}, Н. П. Кузьмина^{2,**}

¹ 119991 Москва, ул. Вавилова, 40, Вычислительный центр им. А.А. Дородницына РАН, Россия

² 117997 Москва, Нахимовский пр-т, 36, Институт океанологии им. П.П. Ширшова РАН, Россия

*e-mail: sskorokhodov@gmail.com

**e-mail: kuzmina@ocean.ru

Поступила в редакцию 12.03.2020 г.

Переработанный вариант 21.05.2020 г.

Принята к публикации 07.07.2020 г.

На основе уравнения потенциального вихря в квазигеострофическом приближении представлен анализ устойчивых и неустойчивых возмущений океанских течений конечного поперечного масштаба с вертикальным линейным профилем скорости (течения типа Куэтта). В модели учитывается влияние вертикальной диффузии плавучести, трения и бета-эффекта (изменение параметра Кориолиса с широтой). Для анализа используется метод малых возмущений. Задача зависит от нескольких физических параметров и сводится к решению спектральной несамосопряженной задачи для уравнения 4-го порядка с малым параметром при старшей производной. Построены асимптотические разложения собственных функций и собственных значений при малых значениях волнового числа k . С помощью метода продолжения по параметру k вычислены траектории собственных значения, которые позволили провести сравнение влияния бета-эффекта на неустойчивые возмущения первой моды и более высоких мод. Показано, что неустойчивость течения сложным образом зависит от физических параметров течения. Библ. 21. Фиг. 2.

Ключевые слова: спектральная несамосопряженная задача, метод продолжения по параметру, метод Ньютона, асимптотические разложения.

DOI: 10.31857/S0044466920110137

ВВЕДЕНИЕ

Работа является продолжением исследований устойчивых и неустойчивых возмущений типичных для океана модельных течений (см. [1]–[8]). В отличие от моделей, представленных в перечисленных работах, здесь будут учитываться не только вертикальная диффузия плавучести и трение, но и бета-эффект (изменение параметра Кориолиса с широтой), т.е. влияние на динамику возмущений сферичности Земли. Анализ будет проводиться для течения с линейным вертикальным профилем скорости (течение типа Куэтта). Динамика малых возмущений такого течения описывается линейным уравнением потенциального вихря в квазигеострофическом приближении. Вывод основных уравнений модели подробно представлен в [3]–[7].

Важно также отметить, что исследование влияния бета-эффекта на динамику возмущений геострофических течений проводилось в приближении идеальной жидкости (без учета диффузии плавучести и трения) для течений бесконечного поперечного масштаба (см. [9], [10]). Задача в более полной постановке (с учетом диссипации и конечного поперечного масштаба течения) может позволить описать новые физические особенности динамики возмущений.

С помощью предложенного ранее подхода к решению возникающей спектральной задачи (см. [5], [6], [3]) разработан аналитико-численный метод решения такой задачи типа Орра–Зоммерфельда и построены асимптотические разложения собственных функций (СФ) и собственных значений (СЗ) при малых волновых числах k . Этот метод позволил провести много-

¹⁾ Участие Н.П. Кузьминой в данном исследовании поддерживалось бюджетным финансированием ИО РАН (тема № 0149-2019-0003).

численные расчеты и исследовать неустойчивость модельных течений в широком диапазоне физических параметров.

Постановка задачи. Область, в которой исследуется модельное течение, является бесконечным (вдоль направления течения) горизонтальным слоем с верхней и нижней границами z_0 и z_1 и боковыми границами y_0 и y_1 . Декартовы координаты внутри такого слоя следующие: вертикальная переменная $z \in [z_0, z_1]$, поперечная переменная $y \in [y_0, y_1]$ и продольная переменная x направлена вдоль течения, $x \in (-\infty, \infty)$.

Следуя стандартному методу исследования неустойчивости течения (см., например, [3], [5]), представим возмущение безразмерного давления в виде бегущей вдоль оси x волны:

$$p(x, y, z; t) = \sin\left(\pi n \frac{y - y_0}{y_1 - y_0}\right) e^{ik(x-ct)} F\left(\frac{z}{H}\right), \quad n \in \mathbb{N}, \quad (0.1)$$

где k – волновое число возмущения вдоль координаты x , $(y_1 - y_0)/n$ – масштаб возмущения в поперечном направлении y , H – вертикальный масштаб слоя, а $F\left(\frac{z}{H}\right)$ – искомый вертикальный профиль возмущения давления.

В безразмерных переменных задача исследования динамики течения с линейным вертикальным профилем скорости $U(z) = z$ сводится к решению на отрезке $z \in [0, 1]$ уравнения для комплекснозначной функции $F = F(z)$:

$$\frac{1}{ikR} \left[F^{(IV)} - \text{PrBu}(\pi^2 n^2 + k^2) F'' \right] = (z - c) \left[F''' - \text{Bu}(\pi^2 n^2 + k^2) F' \right] + \mu F, \quad (0.2)$$

где $R = \text{Re}H/L$, Re – число Пекле (аналог числа Рейнольдса), $L = y_1 - y_0$ – поперечный масштаб течения, Pr – число Прандтля, Bu – число Бургера, μ – параметр, учитывающий бета-эффект, i – мнимая единица.

Два краевых условия задают отсутствие протекания на горизонтальных границах слоя $z = 0$ и $z = 1$:

$$\frac{1}{ikR} F'''(0) = -cF'(0) - F(0), \quad \frac{1}{ikR} F'''(1) = (1 - c)F'(1) - F(1). \quad (0.3)$$

Еще два условия на этих границах задают равенство нулю потоков плавучести,

$$F''(0) = F''(1) = 0. \quad (0.4)$$

Поставленная задача является спектральной для бесконечно дифференцируемой комплекснозначной функции $F(z)$ на отрезке $z \in [0, 1]$.

Задача. Найти СФ $F(z)$ и соответствующие им СЗ c , т.е. решения уравнения (0.2) с краевыми условиями (0.3), (0.4).

Отметим здесь, что оператор задачи является несамосопряженным, он содержит малый параметр $(kR)^{-1}$ при старшей производной (величина kR для реальных течений может быть очень большой), а спектральный параметр c входит как в уравнение (0.2), так и в краевое условие (0.3). Собственных функций $F_m(z)$ и соответствующих им СЗ c_m будет счетное множество, а неустойчивость по времени возмущений давления $p(x, y, z; t)$ возникает для тех СФ, которым соответствует СЗ c_m с положительной мнимой частью $\text{Im}(c_m) > 0$, что следует из представления (0.1).

Обзор литературы и современное состояние исследований спектра подобных операторов содержится в [11]; обзор методов вычисления СЗ таких задач дан в [12]–[14]. В [5]–[7], [15] изложен метод, позволивший эффективно вычислить СФ и СЗ уравнений типа Орра–Зоммерфельда с высокой точностью. В настоящей работе этот метод получил дальнейшее развитие и был использован для решения задачи (0.2)–(0.4).

В [6] для случая $\mu = 0$ и $n = 1$ при вещественных параметрах k , R , Pr , Bu было доказано свойство симметрии СЗ c_m относительно прямой $\text{Re}(c) = \frac{1}{2}$ и показано образование двойных СЗ при некоторых значениях k .

Именно, если c_m является СЗ задачи (0.2)–(0.4) при $\mu = 0$ и $n = 1$, то

$$\hat{c}_m = 1 - \text{Re}(c_m) + i\text{Im}(c_m)$$

также является СЗ этой задачи.

Это свойство симметрии СЗ может быть аналогично доказано для задачи (0.2)–(0.4) при $\mu = 0$ и $n \in \mathbb{N}$.

Однако для $\mu \neq 0$ эта симметрия исчезает и двойные СЗ не образуются. При этом расстояние между двумя соседними траекториями СЗ, т.е. величина

$$\varrho = \min_k |c_{m+1}(k) - c_m(k)|,$$

может быть очень малой, а это, в свою очередь, может приводить к дополнительным трудностям в численном анализе.

1. МЕТОД РАСЧЕТА СФ И СЗ

Вычисление СФ $F(z)$ и соответствующих СЗ c основано на построении степенных разложений $F(z)$ в граничных точках $z = 0$ и $z = 1$ и их гладкой шивке в некоторой точке $z_* \in (0, 1)$ (см. [5]–[7], [15], [16]).

Пусть спектральный параметр c зафиксирован. Тогда $F(c; z)$, решение уравнения (0.2), представим в виде следующих разложений в точках $z = 1$ и $z = 0$:

$$F(c; z) = \sum_{m=0}^{\infty} a_m(c)(z-1)^m, \quad (1.1)$$

$$F(c; z) = \sum_{m=0}^{\infty} b_m(c)z^m, \quad (1.2)$$

где коэффициенты a_m и b_m зависят от параметров задачи $k, R, \text{Pr}, \text{Vu}, n, \mu$ и выбранного спектрального параметра c . Разложения (1.1), (1.2) сходятся при всех $|z| < \infty$, поскольку решение уравнения (0.2) имеет единственную особую точку $z = \infty$.

Подставляя ряды (1.1), (1.2) в уравнение (0.2), получаем рекуррентные соотношения для коэффициентов a_m и b_m :

$$a_{m+4} = \{(m+1)(m+2)[\text{PrVu}(\pi^2 n^2 + k^2) + (1-c)ikR]a_{m+2} + ikRm(m+1)a_{m+1} + ikR[\mu + \text{Vu}(\pi^2 n^2 + k^2)(c-1)]a_m - ikR\text{Vu}(\pi^2 n^2 + k^2)a_{m-1}\}[(m+1)(m+2)(m+3)(m+4)]^{-1}, \quad (1.3)$$

$$b_{m+4} = \{(m+1)(m+2)[\text{PrVu}(\pi^2 n^2 + k^2) - ikRc]b_{m+2} + ikRm(m+1)b_{m+1} + ikR[\mu + \text{Vu}(\pi^2 n^2 + k^2)c]b_m - ikR\text{Vu}(\pi^2 n^2 + k^2)b_{m-1}\}[(m+1)(m+2)(m+3)(m+4)]^{-1}. \quad (1.4)$$

Учет краевых условий (0.3) дает связь коэффициентов a_0, a_1, a_3 и b_0, b_1, b_3 :

$$a_3 = \frac{ikR}{6}[(1-c)a_1 - a_0], \quad b_3 = -\frac{ikR}{6}(cb_1 + b_0). \quad (1.5)$$

Краевое условие (0.4) приводит к равенствам для a_2 и b_2 :

$$a_2 = 0, \quad b_2 = 0. \quad (1.6)$$

Теперь построим функцию $F_1(c; z)$ в виде разложения (1.1), задав $a_0^{(1)}$ и $a_1^{(1)}$ следующими:

$$a_0^{(1)} = 1, \quad a_1^{(1)} = 0,$$

коэффициенты $a_2^{(1)}$ и $a_3^{(1)}$ определив из (1.6) и (1.5), а все последующие $a_m^{(1)}$ вычислив из соотношения (1.3), где дополнительно полагаем $a_{-1}^{(1)} = 0$.

Аналогично этому построим вторую функцию $F_2(c; z)$ в виде такого же разложения (1.1), но задав $a_0^{(2)}$ и $a_1^{(2)}$ следующими:

$$a_0^{(2)} = 0, \quad a_1^{(2)} = 1.$$

Тогда общее решение $F(c; z)$ уравнения (0.2) с краевыми условиями (0.3), (0.4) лишь в точке $z = 1$ есть линейная комбинация $F_1(c; z)$ и $F_2(c; z)$,

$$F(c; z) = t_1 F_1(c; z) + t_2 F_2(c; z), \quad (1.7)$$

с произвольными весовыми коэффициентами t_1 и t_2 .

Теперь построим две функции $F_3(c; z)$ и $F_4(c; z)$ в виде разложений (1.2), задав коэффициенты $b_0^{(1)}$, $b_1^{(1)}$ и $b_0^{(2)}$, $b_1^{(2)}$ следующими,

$$b_0^{(1)} = 1, \quad b_1^{(1)} = 0, \quad b_0^{(2)} = 0, \quad b_1^{(2)} = 1,$$

положив b_2 , в соответствии с (1.6), нулевыми, b_3 вычислив из (1.5), а все последующие коэффициенты b_m для обоих разложений вычислив из соотношения (1.4) с учетом равенства $b_{-1}^{(1)} = b_{-1}^{(2)} = 0$.

Тогда общее решение $F(c; z)$ уравнения (0.2) с краевыми условиями (0.3), (0.4) лишь в точке $z = 0$ есть линейная комбинация $F_3(c; z)$ и $F_4(c; z)$,

$$F(c; z) = t_3 F_3(c; z) + t_4 F_4(c; z), \quad (1.8)$$

с произвольными весовыми коэффициентами t_3 и t_4 .

Для построения СФ и нахождения СЗ задачи (0.2)–(0.4) выберем произвольную точку z_* на интервале $(0, 1)$ и потребуем совпадения в этой точке как функций (1.7) и (1.8), так и их первых трех производных по z , т.е.

$$t_1 F_1^{(p)}(c; z_*) + t_2 F_2^{(p)}(c; z_*) - t_3 F_3^{(p)}(c; z_*) - t_4 F_4^{(p)}(c; z_*) = 0, \quad p = 0, 1, 2, 3. \quad (1.9)$$

В силу исходного уравнения (0.2) четвертого порядка мы заключаем, что в точке z_* все производные более высокого порядка разложений $t_1 F_1(c; z) + t_2 F_2(c; z)$ и $t_3 F_3(c; z) + t_4 F_4(c; z)$ также совпадают. Это обеспечит гладкость искомого решения $F(c; z)$ исходной задачи во всех точках $z \in [0, 1]$.

Ненулевое решение системы (1.9) возможно только в случае равенства нулю вронскиана $W(F_1, F_2, F_3, F_4)$:

$$W(F_1, F_2, F_3, F_4; c; z_*) = 0. \quad (1.10)$$

Решая это уравнение, мы находим искомую комплексную скорость бегущей волны c , зависящую от параметров задачи (0.2)–(0.4).

Решение (1.10) будем строить с помощью метода Ньютона

$$c^{(q+1)} = c^{(q)} - W(\dots; c^{(q)}; z_*) \left[\frac{\partial W(\dots; c^{(q)}; z_*)}{\partial c} \right]^{-1}, \quad q = 0, 1, \dots, \quad (1.11)$$

а начальные приближения $c^{(0)}$ будем брать на основе метода продолжения по параметру k и из представленных ниже асимптотических разложений при $k \rightarrow 0$.

Необходимая для метода Ньютона производная $\partial W(\dots; c; z_*)/\partial c$ от вронскиана (1.10) системы (1.9) находилась с помощью явного дифференцирования по спектральному параметру “ c ” всех производных $F_1^{(p)}(c; z_*)$, $F_2^{(p)}(c; z_*)$, $F_3^{(p)}(c; z_*)$, $F_4^{(p)}(c; z_*)$ для $p = 0, 1, 2, 3$. Например, смешанные производные $\partial F_1^{(p)}(c; z_*)/\partial c$ и $\partial F_2^{(p)}(c; z_*)/\partial c$ вычислялись дифференцированием рядов (1.1),

$$\frac{\partial F^{(p)}(c; z_*)}{\partial c} = \sum_{m=0}^{\infty} \frac{m!}{(m-p)!} a_m(c) (z_* - 1)^{m-p}, \quad p = 0, 1, 2, 3, \quad (1.12)$$

а необходимые для разложений (1.12) производные $a_m = a_m(c)$ находились дифференцированием по “ c ” соотношений (1.3) и (1.5),

$$a'_{m+4} = \left\{ (m+1)(m+2)[\text{PrBu}(\pi^2 n^2 + k^2) + (1-c)ikR]a'_{m+2} - (m+1)(m+2)ikRa_{m+2} + ikRm(m+1)a'_{m+1} + \right. \\ \left. + ikR\text{Bu}(\pi^2 n^2 + k^2)[(c-1)a'_m + a_m] + ikR\mu a'_m - ikR\text{Bu}(\pi^2 n^2 + k^2)a'_{m-1} \right\} [(m+1)(m+2)(m+3)(m+4)]^{-1}, \\ a'_3 = \frac{ikR}{6} [-a_1 + (1-c)a'_1 - a'_0],$$

где значения a'_0, a'_1 и a'_2 равны нулю. Построенное разложение для $\partial W(\dots; c; z_{\text{ст}})/\partial c$ позволяет избежать использования конечно-разностной производной

$$\frac{W(\dots; c + \Delta c; z_{\text{ст}}) - W(\dots; c; z_{\text{ст}})}{\Delta c}$$

и связанной с ней потери точности при малых $|\Delta c|$.

2. АСИМПТОТИКА СФ И СЗ ПРИ $k \rightarrow 0$

Построим при $k \rightarrow 0$ асимптотическое разложение СФ и СЗ при ненулевых параметрах $R, \text{Bu}, \text{Pr}, n \in \mathbb{N}$ и $\mu \geq 0$. Здесь необходимо отдельно рассмотреть два варианта – случай конечных СЗ и случай неограниченных СЗ.

2.1. Ограниченные СЗ

Исследуем сначала асимптотическое разложение при $k \rightarrow 0$ для СФ и СЗ задачи (0.2)–(0.4) при условии, что СЗ имеет конечный предел.

Введем следующую сдвигжку аргумента z и СЗ c :

$$z = w + \frac{1}{2}, \quad c = \omega + \frac{1}{2}. \tag{2.1}$$

Тогда уравнение (0.2) для $F(w)$ и краевые условия (0.3), (0.4) примут следующий вид:

$$F^{(4)} - \text{PrBu}(\pi^2 n^2 + k^2)F'' = ikR \left\{ (w - \omega) \left[F''' - \text{Bu}(\pi^2 n^2 + k^2)F \right] + \mu F \right\}, \quad w \in \left[-\frac{1}{2}, \frac{1}{2} \right], \tag{2.2}$$

$$F''' \left(-\frac{1}{2} \right) = ikR \left[-\left(\frac{1}{2} + \omega \right) F' \left(-\frac{1}{2} \right) - F \left(-\frac{1}{2} \right) \right], \quad F''' \left(\frac{1}{2} \right) = ikR \left[\left(\frac{1}{2} - \omega \right) F' \left(\frac{1}{2} \right) - F \left(\frac{1}{2} \right) \right], \tag{2.3}$$

$$F'' \left(-\frac{1}{2} \right) = 0, \quad F'' \left(\frac{1}{2} \right) = 0. \tag{2.4}$$

Используя методы асимптотического анализа [17], [18], представим решение задачи (2.2)–(2.4), т.е. СФ $F(k; w)$ и соответствующее ей СЗ $\omega(k)$, в виде разложения по степеням малого параметра k :

$$F(k; w) = \phi_0(w) + k\phi_1(w) + k^2\phi_2(w) + \dots, \tag{2.5}$$

$$\omega(k) = \omega_0 + k\omega_1 + k^2\omega_2 + \dots, \quad k \rightarrow 0. \tag{2.6}$$

Подстановка (2.5), (2.6) в уравнение (2.2) и краевые условия (2.3), (2.4) и приравнивание соответствующих слагаемых при степенях $k^p, p = 0, 1, \dots$, приводит к цепочке краевых задач для $\phi_p(w)$ на отрезке $w \in \left[-\frac{1}{2}, \frac{1}{2} \right]$. Первая из них, для $\phi_0(w)$, имеет вид

$$\phi_0''''(w) - \text{PrBu}\pi^2 n^2 \phi_0''(w) = 0, \tag{2.7}$$

$$\phi_0''' \left(-\frac{1}{2} \right) = \phi_0''' \left(\frac{1}{2} \right) = 0, \quad \phi_0'' \left(-\frac{1}{2} \right) = \phi_0'' \left(\frac{1}{2} \right) = 0. \tag{2.8}$$

Решением (2.7), (2.8) является линейная функция,

$$\varphi_0(w) = A_0 + B_0 w \quad \forall A_0, B_0. \quad (2.9)$$

Далее, для функции $\varphi_1(w)$ и константы ω_0 имеем уравнение

$$\varphi_1'''(w) - \text{PrBu}\pi^2 n^2 \varphi_1''(w) = iR\{(w - \omega_0)[\varphi_0'(w) - \text{Bu}\pi^2 n^2 \varphi_0(w)] + \mu\varphi_0(w)\} \quad (2.10)$$

и краевые условия

$$\varphi_1'''(-\frac{1}{2}) = iR\left[-\left(\frac{1}{2} + \omega_0\right)\varphi_0'(-\frac{1}{2}) - \varphi_0(-\frac{1}{2})\right], \quad \varphi_1'''(\frac{1}{2}) = iR\left[\left(\frac{1}{2} - \omega_0\right)\varphi_0'(\frac{1}{2}) - \varphi_0(\frac{1}{2})\right], \quad (2.11)$$

$$\varphi_1''(-\frac{1}{2}) = \varphi_1''(\frac{1}{2}) = 0. \quad (2.12)$$

Решение уравнения (2.10) ищем в виде суммы $\varphi_1 = \varphi_h + \varphi_{nh}$, где φ_h – общее решение однородного уравнения, а φ_{nh} – частное решение неоднородного уравнения. Учитывая вид (2.9) для φ_0 , выводим следующее представление для функции $\varphi_{nh}(w)$:

$$\varphi_{nh}(w) = D_2 w^2 + D_3 w^3 + D_4 w^4, \quad (2.13)$$

где

$$D_2 = \frac{iRB_0}{\text{Pr}^2 \text{Bu}\pi^2 n^2} - \frac{iRA_0}{2\text{Pr}}\left(\omega_0 + \frac{\mu}{\text{Bu}\pi^2 n^2}\right), \quad D_3 = \frac{iR}{6\text{Pr}}\left(A_0 - \omega_0 B_0 - \frac{\mu B_0}{\text{Bu}\pi^2 n^2}\right), \quad D_4 = \frac{iRB_0}{12\text{Pr}}. \quad (2.14)$$

Решение $\varphi_h(w)$ запишем в виде

$$\varphi_h(w) = A_1 \sinh \lambda w + B_1 \cosh \lambda w + D_0 + D_1 w, \quad \lambda = \pi n \sqrt{\text{PrBu}}, \quad (2.15)$$

с произвольными константами A_1, B_1, D_0 и D_1 . Тогда, подставляя решение $\varphi_1 = \varphi_h + \varphi_{nh}$ в краевые условия (2.11), (2.12), получаем систему для искоемых коэффициентов A_1 и B_1 :

$$\begin{aligned} \lambda^2 B_1 \cosh \frac{\lambda}{2} + 2D_2 + 3D_4 &= 0, & \lambda^2 A_1 \sinh \frac{\lambda}{2} + 3D_3 &= 0, \\ \lambda^3 \left(A_1 \cosh \frac{\lambda}{2} - B_1 \sinh \frac{\lambda}{2} \right) + 6D_3 - 12D_4 + iR(\omega_0 B_0 + A_0) &= 0, \\ \lambda^3 \left(A_1 \cosh \frac{\lambda}{2} + B_1 \sinh \frac{\lambda}{2} \right) + 6D_3 + 12D_4 + iR(\omega_0 B_0 + A_0) &= 0. \end{aligned}$$

Учитывая соотношения (2.14) и разрешая эту систему относительно A_1 и B_1 , получаем систему относительно коэффициентов A_0 и B_0 в представлении $\varphi_0(z)$ из (2.9):

$$\begin{aligned} \left(\frac{\mu}{\lambda} + \frac{\omega_0 \lambda}{\text{Pr}} \right) \sinh \frac{\lambda}{2} A_0 - \left[\left(\frac{2}{\lambda} + \frac{\lambda}{4} \right) \frac{\sinh \frac{\lambda}{2}}{\text{Pr}} - \frac{\cosh \frac{\lambda}{2}}{\text{Pr}} \right] B_0 &= 0, \\ \left[\frac{\lambda \cosh \frac{\lambda}{2}}{2\text{Pr}} - \frac{(1 + \text{Pr}) \sinh \frac{\lambda}{2}}{\text{Pr}} \right] A_0 - \left[\frac{\mu \cosh \frac{\lambda}{2}}{2\lambda} + \frac{\lambda \omega_0 \cosh \frac{\lambda}{2}}{2\text{Pr}} - \frac{\mu \sinh \frac{\lambda}{2}}{\lambda^2} + \frac{\omega_0 (\text{Pr} - 1) \sinh \frac{\lambda}{2}}{\text{Pr}} \right] B_0 &= 0. \end{aligned}$$

Нетривиальность решения этой системы требует равенства нулю ее детерминанта, что приводит к трансцендентному уравнению для искомой величины ω_0 :

$$Q_0 \omega_0^2 + Q_1 \omega_0 + Q_2 = 0, \quad (2.16)$$

где

$$Q_0 = \lambda \left[\frac{\lambda \cosh \frac{\lambda}{2}}{2} + (\text{Pr} - 1) \sinh \frac{\lambda}{2} \right], \quad Q_1 = \mu \text{Pr} \left[\cosh \frac{\lambda}{2} + (\text{Pr} - 2) \frac{\sinh \frac{\lambda}{2}}{\lambda} \right], \quad (2.17)$$

$$Q_2 = \frac{\mu^2 \text{Pr}^2}{\lambda^2} \left(\frac{\cosh \frac{\lambda}{2}}{2} - \frac{\sinh \frac{\lambda}{2}}{\lambda} \right) - \left[\left(\frac{2}{\lambda} + \frac{\lambda}{4} \right) - \frac{\lambda}{2} \right] \left[\frac{\lambda \cosh \frac{\lambda}{2}}{2} - (\text{Pr} + 1) \sinh \frac{\lambda}{2} \right]. \quad (2.18)$$

Решение уравнения (2.16) есть

$$\omega_{0,2} = \frac{-Q_1 \pm \sqrt{Q_1^2 - 4Q_0Q_2}}{2Q_0}, \quad (2.19)$$

откуда получаем, что при $Q_1^2 - 4Q_0Q_2 < 0$ оба значения $\omega_{0,2}$ комплексно-сопряженные, одно из них лежит в верхней полуплоскости $\text{Im } \omega_0 > 0$, а значит, при малых параметрах k , в силу представления (2.1), обеспечивает условие $\text{Im } c > 0$, что приводит к неустойчивости исследуемого течения.

При $Q_1^2 - 4Q_0Q_2 > 0$ оба значения $\omega_{0,2}$, как видно из (2.19), лежат на оси $\text{Im } \omega_0 = 0$, а значит, при $k \rightarrow +0$ это практически соответствует нейтральности возмущений с точностью до первого члена разложения (2.6).

Теперь рассмотрим случай достаточно широких течений, которым соответствуют значения параметра $\text{Bu} \ll 1$; при этом значения $\text{Pr} \sim 1$. Тогда, учитывая определение λ в (2.15), заключаем, что при не слишком больших n величина $\lambda \ll 1$. Разложим выражения Q_0 , Q_1 и Q_2 из равенств (2.17), (2.18) в ряд по малому параметру λ и получим для $\omega_{0,2}$:

$$\omega_{0,2} = -\mu \left(\frac{\text{Pr}}{2\lambda^2} + \frac{1}{24} - \frac{\text{Pr} + 5}{1440\text{Pr}} \lambda^2 \right) \pm \sqrt{\mu^2 \left(\frac{\text{Pr}^2}{4\lambda^4} - \frac{\text{Pr}}{24\lambda^2} + \frac{\text{Pr}}{1440} + \frac{1}{192} - \frac{2\text{Pr}^2 + 21\text{Pr} + 70}{120960\text{Pr}} \lambda^2 \right) - \frac{1}{12} + \frac{5 - \text{Pr}}{360\text{Pr}} \lambda^2 + O(\lambda^4)}. \quad (2.20)$$

Из (2.20) в частном случае $\mu = 0$ следует результат, ранее полученный в [6], что в исходной задаче ограниченные СЗ при $k \rightarrow 0$ имеют следующую асимптотику при малых $\lambda = \pi n \sqrt{\text{PrBu}}$:

$$c_{1,2} = \frac{1}{2} \pm \sqrt{-\frac{1}{12} + \frac{5 - \text{Pr}}{360\text{Pr}} \lambda^2 + O(\lambda^4)}.$$

Отсюда получаем, что при $\mu = 0$ и малых λ и k одно из СЗ задачи имеет $\text{Im}(c) \approx \frac{\sqrt{3}}{6}$ и исследуемое течение является неустойчивым.

В случае $\mu > 0$, как следует из (2.20), неустойчивость для малых k и λ будет возникать при $\frac{\mu^2 \text{Pr}^2}{4\lambda^4} < \frac{1}{12}$. Учитывая определение λ в (2.15), это приводит (при $\text{Pr} \sim 1$) к условию

$$\mu < \frac{\pi^2 n^2 \text{Bu}}{\sqrt{3}}. \quad (2.21)$$

Проведенные многочисленные расчеты СЗ исходной задачи показали справедливость оценки (2.21) для границы устойчивости течения при малых k и λ .

Если же величина λ не является малой, то из (2.19) получаем, что неустойчивость течения для малых k будет возникать при $Q_1^2 < 4Q_0Q_2$, т.е. при выполнении условия

$$\mu^2 \text{Pr}^2 \left\{ \left[\cosh \frac{\lambda}{2} + (\text{Pr} - 2) \frac{\sinh \frac{\lambda}{2}}{\lambda} \right]^2 - \left[\cosh \frac{\lambda}{2} + (\text{Pr} - 1) 2 \frac{\sinh \frac{\lambda}{2}}{\lambda} \right] \left[\cosh \frac{\lambda}{2} - \frac{2 \sinh \frac{\lambda}{2}}{\lambda} \right] \right\} < < 4\lambda \left[\frac{\lambda \cosh \frac{\lambda}{2}}{2} + (\text{Pr} - 1) \sinh \frac{\lambda}{2} \right] \left[\left(\frac{2}{\lambda} + \frac{\lambda}{4} \right) - \text{cth} \frac{\lambda}{2} \right] \left[(\text{Pr} + 1) \sinh \frac{\lambda}{2} - \frac{\lambda \cosh \frac{\lambda}{2}}{2} \right], \quad (2.22)$$

где $\lambda = \pi n \sqrt{\text{PrBu}}$. Отметим здесь, что из неравенства (2.22) оценка (2.21) для малых λ следует при разложении в ряд всех слагаемых.

Таким образом, для случая $k \rightarrow 0$ здесь получена связь величины μ с другими параметрами течения, показывающая его неустойчивость.

2.2. Неограниченные СЗ

Построение асимптотического разложения при $k \rightarrow 0$ для СФ и неограниченно растущих СЗ задачи (0.2)–(0.4) проводится так же, как это было сделано в [6].

Домножая обе части уравнения (0.2) и краевого условия (0.3) на величину ikR и обозначая произведение $ik\left(c - \frac{1}{2}\right)$ через \tilde{C} , а $z - \frac{1}{2}$ через w , получаем для $F(w)$ и параметра \tilde{C} следующую задачу:

$$F^{(4)}(w) - \text{PrBu}(\pi^2 n^2 + k^2)F''(w) = R(ikw - \tilde{C})[F'''(w) - \text{Bu}(\pi^2 n^2 + k^2)F'(w)] + ikR\mu F(w), \tag{2.23}$$

$$F'''(-\frac{1}{2}) = -R\tilde{C}F'(-\frac{1}{2}) + ikR\left[-\frac{1}{2}F'(-\frac{1}{2}) - F(-\frac{1}{2})\right], \quad F''(-\frac{1}{2}) = 0,$$

$$F'''(\frac{1}{2}) = -R\tilde{C}F'(\frac{1}{2}) + ikR\left[\frac{1}{2}F'(\frac{1}{2}) - F(\frac{1}{2})\right], \quad F''(\frac{1}{2}) = 0,$$

$$\tilde{C} = ik\left(c - \frac{1}{2}\right), \quad w = z - \frac{1}{2}.$$

Теперь полагаем, что решение $F(k; w)$ и величина $\tilde{C}(k)$ имеют асимптотические разложения

$$F(k; w) = \varphi_0(w) + k\varphi_1(w) + \dots, \quad \tilde{C}(k) = \chi_0 + k\chi_1 + \dots, \quad \chi_0 \neq 0, \quad k \rightarrow 0. \tag{2.24}$$

Тогда для функций $\varphi_m(w)$ и искомым констант χ_m опять получаем цепочку краевых задач, как и в предыдущем случае; первая из них, для $\varphi_0(w)$ и χ_0 , имеет вид

$$\varphi_0''''(w) + (R\chi_0 - \text{PrBu}\pi^2 n^2)\varphi_0''(w) - R\chi_0\text{Bu}\pi^2 n^2\varphi_0(w) = 0, \tag{2.25}$$

$$\varphi_0'''(\frac{1}{2}) = -R\chi_0\varphi_0'(\frac{1}{2}), \quad \varphi_0''(\frac{1}{2}) = 0, \quad \varphi_0'''(-\frac{1}{2}) = -R\chi_0\varphi_0'(-\frac{1}{2}), \quad \varphi_0''(-\frac{1}{2}) = 0. \tag{2.26}$$

Представляя решение уравнения (2.25) в виде

$$\varphi_0(w) = A \cos(\lambda w) + B \sin(\lambda w), \tag{2.27}$$

получаем для λ характеристическое уравнение

$$\lambda^4 - (R\chi_0 - \text{PrBu}\pi^2 n^2)\lambda^2 - R\chi_0\text{Bu}\pi^2 n^2 = 0. \tag{2.28}$$

Некратные корни λ_1^2 и λ_2^2 ($\lambda_1^2 \neq \lambda_2^2$) этого уравнения возникают при условии неравенства нулю его дискриминанта, т.е.

$$(R\chi_0 - \text{PrBu}\pi^2 n^2)^2 + 4R\chi_0\text{Bu}\pi^2 n^2 \neq 0; \tag{2.29}$$

в дальнейшем рассмотрении ограничимся только этим условием.

Решение уравнения (2.28) запишем относительно величин $q_1 = \lambda_1^2$ и $q_2 = \lambda_2^2$:

$$q_{1,2} = \frac{1}{2}\left(R\chi_0 - \text{PrBu}\pi^2 n^2 \pm \sqrt{(R\chi_0 - \text{PrBu}\pi^2 n^2)^2 + 4R\chi_0\text{Bu}\pi^2 n^2}\right). \tag{2.30}$$

Дальнейший анализ задачи (2.25), (2.26) аналогичен решению задачи для $\mu = 0$ в работе [6], поэтому приведем здесь окончательные результаты для асимптотики СЗ и СФ.

2.2.1. Решения $\varphi_0(w)$ вида $\cos(\lambda w)$. Представляя решение $\varphi_0(w)$ уравнения (2.25) в виде

$$\varphi_0(w) = A_1 \cos(\sqrt{q_1}w) + A_2 \cos(\sqrt{q_2}w), \tag{2.31}$$

получаем для χ_0 трансцендентное уравнение

$$\sqrt{q_2}(q_1 - R\chi_0) \sin \frac{\sqrt{q_1}}{2} \cos \frac{\sqrt{q_2}}{2} = \sqrt{q_1}(q_2 - R\chi_0) \sin \frac{\sqrt{q_2}}{2} \cos \frac{\sqrt{q_1}}{2}, \tag{2.32}$$

где q_1 и q_2 определены в (2.30). Решая (2.32) численно и проверяя условие некратности корней (2.29), получаем счетное множество искомым коэффициентов χ_0 в представлении (2.24).

В частных случаях уравнение (2.32) имеет явные решения. Например, при $\text{Pr} = 1$ получаем условие $\cos \frac{\sqrt{R}\chi_0}{2} = 0$, решение которого есть

$$\chi_{0,m} = \frac{\pi^2}{R}(1+2m)^2, \quad m = 0, 1, 2, \dots \quad (2.33)$$

Тогда счетное множество СЗ исходной задачи, неограниченно растущих при $k \rightarrow 0$ и $\text{Pr} = 1$, имеют асимптотику

$$c_m = -i \frac{\pi^2}{kR}(1+2m)^2 + \frac{1}{2} + O(1), \quad k \rightarrow 0, \quad m = 0, 1, 2, \dots \quad (2.34)$$

2.2.2. Решения $\varphi_0(w)$ вида $\sin(\lambda w)$. Представляя решение $\varphi_0(w)$ уравнения (2.25) в виде

$$\varphi_0(w) = B_1 \sin(\sqrt{q_1}w) + B_2 \sin(\sqrt{q_2}w), \quad (2.35)$$

получаем для χ_0 трансцендентное уравнение

$$\sqrt{q_2}(q_1 - R\chi_0) \cos \frac{\sqrt{q_1}}{2} \sin \frac{\sqrt{q_2}}{2} = \sqrt{q_1}(q_2 - R\chi_0) \cos \frac{\sqrt{q_2}}{2} \sin \frac{\sqrt{q_1}}{2}, \quad (2.36)$$

где q_1 и q_2 определены в (2.30). Решая (2.36) численно и проверяя условие некратности корней (2.29), получаем счетное множество искомых коэффициентов χ_0 в представлении (2.24).

В частных случаях уравнение (2.36) имеет явные решения. Например, при $\text{Pr} = 1$, аналогично пп. 2.2.1, для χ_0 получаем уравнение $\sin \frac{\sqrt{R}\chi_0}{2} = 0$. Множество его решений $\chi_{0,m}$ имеет вид

$$\chi_{0,m} = \frac{\pi^2}{R}(2m)^2, \quad m = 1, 2, \dots \quad (2.37)$$

Таким образом, в исходной задаче для решений вида (2.35) возникает счетное множество СЗ, неограниченно растущих при $k \rightarrow 0$; при $\text{Pr} = 1$ первые члены их асимптотики имеют вид

$$c_m = -i \frac{\pi^2}{kR}(2m)^2 + \frac{1}{2} + O(1), \quad k \rightarrow 0, \quad m = 1, 2, \dots \quad (2.38)$$

Объединяя вместе результаты (2.34) и (2.38), получаем, что в задаче при $\text{Pr} = 1$ первые члены асимптотики множества неограниченно растущих СЗ имеют вид

$$c_m = -i \frac{\pi^2}{kR}m^2 + \frac{1}{2} + O(1), \quad m = 1, 2, \dots, \quad k \rightarrow 0. \quad (2.39)$$

3. ТЕСТИРОВАНИЕ АЛГОРИТМА

Для проверки результатов расчета СЗ и СФ исходной задачи (0.2)–(0.4) были проведены многочисленные расчеты в широком диапазоне физических параметров Pr , Bu , R , μ , n и волновых чисел k . При этом варьировалась длина обрываемых разложений (1.1) и (1.2) и их производных по z и по c , значительно увеличивалась мантисса Digits в используемой арифметике, изменялась точка сшивки $z_{**} \in (0, 1)$ разложений в системе (1.9). Итерационный метод Ньютона (1.11) строился так, что начальное приближение $c^{(0)}$ при малых k бралось из асимптотических разложений, построенных в п. 2, а при увеличении k использовался метод продолжения по параметру. Дополнительным инструментом проверки наличия СЗ в некоторой области \mathcal{D} на комплексной плоскости “ c ” служил обобщенный принцип аргумента (см. [19]) для аналитической в области \mathcal{D} функции $W(c)$,

$$K = \frac{1}{2\pi i} \oint_{\partial \mathcal{D}} \frac{W'(\dots; c; z_*)}{W(\dots; c; z_*)} dc, \quad \sum_{p=1}^K c_p = \frac{1}{2\pi i} \oint_{\partial \mathcal{D}} c \frac{W'(\dots; c; z_*)}{W(\dots; c; z_*)} dc, \quad (3.1)$$

где $W(\dots; c; z_*)$ – вронкиан (1.10) четырех независимых решений, вычисляемых в точке сшивки z_* , K – число комплексных нулей функции $W(\dots; c; z_*)$ внутри области \mathcal{D} , $\sum_{p=1}^K c_p$ – сумма координат этих нулей. В качестве области \mathcal{D} выбирался круг в комплексной плоскости спектрального параметра “ c ”, а интегрирование по контуру $\partial\mathcal{D}$ проводилось с помощью квадратур Гаусса.

Для случая $\mu = 0$ и $n = 1$ результаты расчета СЗ полностью совпали с СЗ, найденными в работе [6]. Здесь же отметим, что в этом случае возникают двойные СЗ с вещественной частью $\operatorname{Re}(c) = \frac{1}{2}$ при определенных волновых числах k_* , которые также совпали с двойными СЗ в [6].

Аналогично предыдущему, при $\mu = 0$ и $n = 2, 3, \dots$, здесь также для определенных волновых чисел k_* возникают двойные СЗ c на этой же прямой $\operatorname{Re}(c) = \frac{1}{2}$. Такое поведение исследуемых СЗ имеет много схожего с траекториями СЗ в задаче Орра–Зоммерфельда для течения Куэтта, см. в [15], [16].

В окрестности этих значений k_* метод Ньютона (1.11) начинал сходиться очень медленно, что связано со стремлением к нулю не только вронкиана $W(c)$ (см. (1.10)), но и его производной $W'(c)$ в точке ветвления $c_m(k_*)$. Исключение этой неопределенности типа $0/0$ приводит к необходимости использования модификации метода Ньютона с включением второй производной:

$$c^{(q+1)} = c^{(q)} - T \pm \sqrt{T^2 - \frac{2W(c^{(q)})}{W''(c^{(q)})}}, \quad T = \frac{W'(c^{(q)})}{W''(c^{(q)})}, \quad q = 0, 1, \dots, \quad (3.2)$$

причем знаки \pm выбираются так, чтобы обеспечить непрерывность обеих ветвей двух функций $c_m(k)$ и $c_{m+1}(k)$. Второй порядок ветвления функций $c_m(k)$ и $c_{m+1}(k)$ в окрестности точек k_* обеспечивает численную устойчивость итерационного процесса (3.2) и его быструю сходимость.

Совокупность описанных методов позволила гарантированно вычислять СЗ и СФ, а также двойные СЗ $c_m(k_*)$ с относительной точностью не менее 20–40 верных дес. знач. цифр.

4. ЧИСЛЕННЫЕ РЕЗУЛЬТАТЫ

Приведем результаты расчетов спектра задачи (0.2)–(0.4) для различных параметров Pr , Bu , R , μ , n и волновых чисел k . Картина траекторий СЗ $c_m(k)$ при изменении k будет иметь как сходство, так и отличие от случая $\mu = 0$, $n = 1$, представленного в [6]. Здесь мы ограничимся описанием только нейтральных и неустойчивых возмущений, которым соответствует первое СЗ.

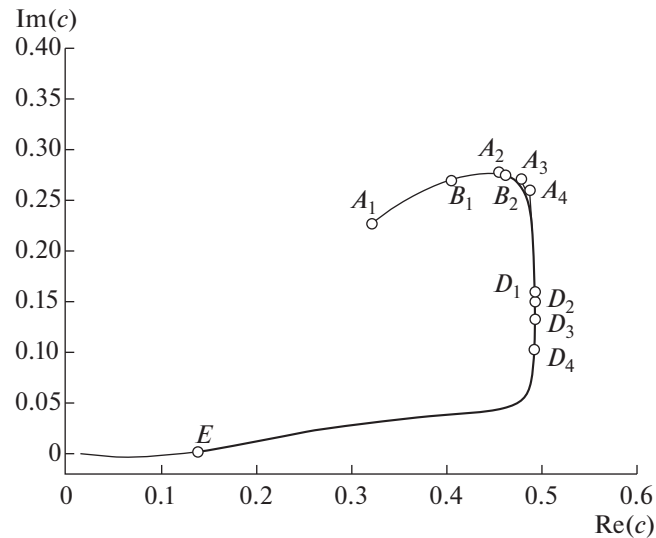
При малых $k \rightarrow 0$ первое СЗ $c_1(k)$, описываемое асимптотикой (2.6), лежит либо на вещественной оси $\operatorname{Im}(c) = 0$, либо в полуплоскости $\operatorname{Im}(c) > 0$ и свидетельствует о неустойчивости течения. (Напомним здесь, что второе СЗ и счетное множество остальных СЗ, описываемых разложением (2.24), соответствуют устойчивым возмущениям.)

На фиг. 1 в плоскости комплексного “ c ” приведены траектории первого СЗ $c_1(k)$ при возрастании числа k для значений физических параметров $R = 10$, $\operatorname{Pr} = 1$, $\operatorname{Bu} = 0.01$, $\mu = 0.035$ и мод $n = \overline{1, 4}$. Точкам A_n соответствуют значения $c_1(k)$ при $k = 0$ для моды n . Точкам B_n соответствуют значения $c_1(k)$ при $k = 3$ для тех же мод (точки B_3 и B_4 расположены очень близко к A_3 и A_4 и поэтому не отмечены). Точкам D_n соответствуют значения $c_1(k)$ при $k = 20$ для тех же мод n . Точка E соответствует значениям $c_1(k)$ при $k = 105$ для всех мод n , поскольку разность между всеми E_n по модулю не превосходила 10^{-4} .

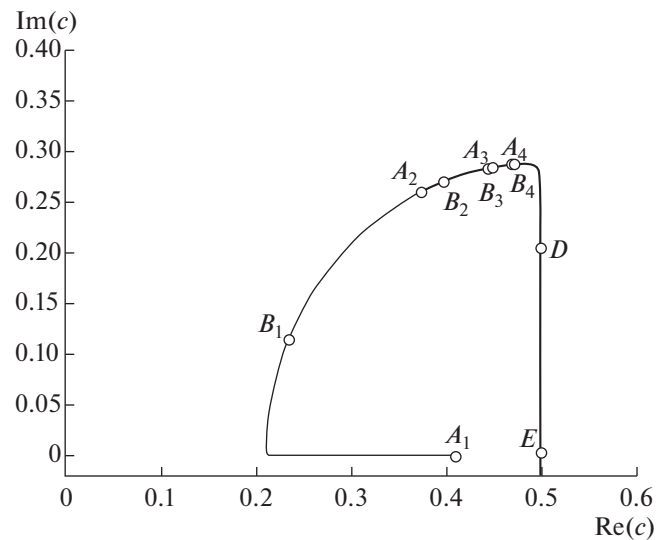
Сплошная линия соответствует непрерывному изменению $c_1(k)$ при росте волнового числа $k \in (0, 110]$. При $k > 110$ эти СЗ $c_1(k)$ для всех мод $n = \overline{1, 4}$ переходят в полуплоскость $\operatorname{Im}(c) < 0$, что соответствует устойчивым возмущениям течения.

Этот анализ показывает, что траектории СЗ $c_1(k)$ для мод $n = 2, 3, 4$ практически полностью “ложатся” на траекторию СЗ $c_1(k)$ для $n = 1$.

При других параметрах эти СЗ ведут себя не менее сложным образом.



Фиг. 1. Траектории $c_1(k)$ для $Bu = 0.01$, $Pr = 1$, $R = 10$, $\mu = 0.035$ и $n = 1, 2, 3, 4$ при увеличении $k \in (0, 110]$.



Фиг. 2. Траектории $c_1(k)$ для $Bu = 0.0001$, $Pr = 2$, $R = 1000$, $\mu = 0.001$ и $n = 1, 2, 3, 4$ при увеличении $k \in (0, 242]$.

На фиг. 2 приведены траектории первого СЗ $c_1(k)$ в полуплоскости $\text{Im}(c) > 0$ для набора параметров $R = 1000$, $Pr = 2$, $Bu = 0.0001$, $\mu = 0.001$ и мод $n = \overline{1, 4}$.

Точкам A_n соответствуют значения $c_1(k)$ при $k = 0$ для моды n . Точкам B_n соответствуют значения $c_1(k)$ при $k = 3$ для тех же мод. Точка D соответствует значениям $c_1(k)$ при $k = 150$ для всех мод n , а точка E — значениям $c_1(k)$ при $k = 242$ для всех мод n . Все точки D_n отличались от отмеченной D не более, чем на 10^{-4} ; то же самое касается точек E_n и E .

При $k > 242$ эти СЗ переходят в полуплоскость $\text{Im}(c) < 0$, что соответствует устойчивым возмущениям.

Отсюда видно, что, как и в предыдущем примере, траектории СЗ $c_1(k)$ для $n = 2, 3, 4$ практически полностью “ложатся” на траекторию СЗ $c_1(k)$ при $n = 1$.

Напомним также, что при $\mu \neq 0$ в наших расчетах не возникали двойные СЗ, в отличие от случая $\mu = 0$, когда на оси $\text{Re}(c) = \frac{1}{2}$ при определенных волновых числах k_* возникали двойные СЗ (см. [6]). Таким образом, мерой близости СЗ задачи к образованию двойных СЗ являлась малость величины μ .

Отметим еще, что траектории СЗ в полуплоскости $\text{Im}(c) < 0$ имели весьма сложную структуру по сравнению с задачей без учета бета-эффекта. Так, в частности, с увеличением числа k СЗ могли двигаться сильно немонотонно и для широкого диапазона изменения расчетных величин k эти СЗ оставались в нижней полуплоскости, т.е. соответствовали устойчивым возмущениям.

5. ЗАКЛЮЧЕНИЕ

В рамках уравнения потенциального вихря проводится исследование устойчивых и неустойчивых возмущений геострофического течения с линейным вертикальным профилем скорости с учетом вертикальной диффузии плавучести, трения, бета-эффекта и для различных значений волнового числа k и номера моды n . Анализ проводится с помощью метода малых возмущений.

Для возникающей спектральной несамосопряженной задачи реализован эффективный аналитико-численный метод решения для ОДУ 4-го порядка с малым параметром при старшей производной и с вхождением спектрального параметра как в уравнение, так и в краевые условия. Метод основан на построении степенных разложений для линейно-независимых решений ОДУ, удовлетворяющих части краевых условий, и на выборе подходящей комбинации этих решений.

Для анализа зависимости СФ и СЗ этих задач от физических параметров R , Pr , Bu , μ , $n \in \mathbb{N}$ построены асимптотики СФ и СЗ при малых значениях волнового числа k . Показано, что при $k \rightarrow +0$ в задаче существуют 2 ограниченных СЗ и счетное множество неограниченно растущих СЗ с предельной точкой $c = -i\infty$.

Высокоточный расчет СЗ задачи основан на итерационном методе Ньютона с выбором начального значения исходя из построенных асимптотик и с использованием метода продолжения по параметру k .

Проведенный численный анализ показал, что в случае параметра $\mu = 0$ при определенных значениях волнового числа k из пар простых СЗ образуются двойные СЗ, лежащие на прямой $\text{Re}(c) = \frac{1}{2}$. При значениях параметра $\mu \neq 0$ двойных СЗ не образуется.

В окрестности двойных СЗ классический итерационный метод Ньютона теряет свою эффективность, поэтому здесь был использован модифицированный метод Ньютона с учетом второй производной. Это позволило с высокой точностью вычислить большое количество СЗ, двойных СЗ и построить траектории СЗ $c_m(k)$ при увеличении волнового числа k . Участки этих траекторий $c_m(k)$, попадающие в верхнюю полуплоскость $\text{Im}(c) > 0$, описывают неустойчивые по времени возмущения. Диапазон изменения волнового числа k неустойчивых возмущений исследуемого течения весьма сложным образом зависит от значений физических параметров задачи.

Представленные результаты дают возможность также судить об интересном и отчасти парадоксальном эффекте. Использованное в работе приближение конечного фронта показывает, что благодаря бета-эффекту амплитуды длинноволновых неустойчивых возмущений более высоких мод ($n = 2, 3, \dots$) могут расти быстрее, чем амплитуда первой моды ($n = 1$). Это дает основание для предположения, что длинноволновые возмущения могут иметь поперечный масштаб меньше масштаба течения или фронта.

Полученные результаты в некоторых случаях представляют интерес для интерпретации данных натуральных наблюдений интрузий и вихрей в зонах океанских зональных течений, см. [20], [21].

СПИСОК ЛИТЕРАТУРЫ

1. Кузьмина Н.П. Об одной гипотезе образования крупномасштабных интрузий в Арктическом бассейне // Фундаментальная и прикл. гидрофиз. 2016. Т. 9. № 2. С. 15–26.
2. Kuzmina N.P. Generation of large-scale intrusions at baroclinic fronts: An analytical consideration with a reference to the Arctic ocean // Ocean Science. 2016. V. 12. P. 1269–1277; <https://doi.org/10.5194/os-12-1269-2016>

3. Кузьмина Н.П., Скороходов С.Л., Журбас Н.В., Лыжков Д.А. О неустойчивости геострофического течения с линейным вертикальным сдвигом скорости на масштабах интрузионного расслоения // Известия РАН. Физика атмосферы и океана. 2018. Т. 54. № 1. С. 54–63.
4. Кузьмина Н.П., Скороходов С.Л., Журбас Н.В., Лыжков Д.А. Описание возмущений океанских геострофических течений с линейным вертикальным сдвигом скорости с учетом трения и диффузии плавучести // Известия РАН. Физика атмосферы и океана. 2019. Т. 55. № 2. С. 73–85.
5. Скороходов С.Л., Кузьмина Н.П. Аналитико-численный метод решения задачи типа Орра–Зоммерфельда для анализа неустойчивости течений в океане // Ж. вычисл. матем. и матем. физ. 2018. Т. 58. № 6. С. 1022–1039.
6. Скороходов С.Л., Кузьмина Н.П. Спектральный анализ модельных течений типа Куэтта применительно к океану // Ж. вычисл. матем. и матем. физ. 2019. Т. 59. № 5. С. 867–888.
7. Скороходов С.Л., Кузьмина Н.П. Эффективный метод решения модифицированной задачи Орра–Зоммерфельда для анализа неустойчивости течений в Арктическом бассейне // Таврический вестник информатики и матем. 2016. № 3 (2.16). С. 88–97.
8. Кузьмина Н.П., Скороходов С.Л., Журбас Н.В., Лыжков Д.А. Спектральная задача типа Орра–Зоммерфельда для анализа неустойчивости течений в Арктическом бассейне // Международная научно-техническая конференция “Современные проблемы термогидромеханики океана” (СПТО-2017), 28–30 ноября 2017, М.: ИО РАН, Сб. тезисов. С. 87–90.
9. Charney J.G. The Dynamics of Long Waves in a Baroclinic Westerly Current // J. of Meteorology. 1947. V. 4. № 5. P. 135–162.
10. Green J.S.A. A problem in baroclinic stability // Quart. Journal. of the Royal. Meteorol. Soc. 1960. V. 86. № 368. P. 237–251.
11. Demuth M., Hansmann M., Katriel G. Eigenvalues of non-selfadjoint operators: a comparison of two approaches // Operator Theory: Advances and Applications. 2013. V. 232. P. 107–163.
12. Reddy S.C., Schmid P.J., Henningson D.S. Pseudospectra of the Orr–Sommerfeld operator // SIAM J. Appl. Math. 1993. V. 53. № 1. P. 15–47.
13. Trefethen L.N. Pseudospectra of linear operators // SIAM Review. 1997. V. 39. № 3. P. 383–406.
14. Бойко А.В., Грек Г.Р., Довгаль А.В., Козлов В.В. Физические механизмы перехода к турбулентности в открытых течениях. М.: Ин-т компьютер. исследований, 2006.
15. Скороходов С.Л. Численный анализ спектра задачи Орра–Зоммерфельда // Ж. вычисл. матем. и матем. физ. 2007. Т. 47. № 10. С. 1672–1691.
16. Скороходов С.Л. Точки ветвления собственных значений оператора Орра–Зоммерфельда // Докл. АН. 2007. Т. 416. № 5. С. 600–605.
17. Найфэ А. Методы возмущений. М.: Наука, 1976. 474 с.
18. Найфэ А. Введение в методы возмущений. М.: Мир, 1984. 535 с.
19. Лаврентьев М.А., Шабат Б.В. Методы теории функций комплексного переменного. М.: Наука, 1973.
20. Kuzmina N.P. On the parameterization of interleaving and turbulent mixing using CTD data from the Azores Frontal Zone // J. Mar. Syst. 2000. V. 23. P. 285–302.
21. Кузьмина Н.П., Скороходов С.Л., Журбас Н.В., Лыжков Д.А. О неустойчивости геострофического течения с постоянным вертикальным сдвигом скорости с учетом диффузии массы и импульса // Международный симпозиум “Мезомасштабные и субмезомасштабные процессы в гидросфере и атмосфере” (МСП-2018), 30 октября – 2 ноября 2018, М.: ИО РАН, Труды конф. С. 205–208.
<https://doi.org/10.29006/978-5-990149-4-1-2018-57>